

УДК 548.737:541.49

Посвящается юбилею академика Ф.А. Кузнецова

КРИСТАЛЛИЧЕСКИЕ СТРУКТУРЫ
1,1,1-ТРИФТОР-4-ГИДРОКСИ-4-ФЕНИЛ-БУТ-3-ЕН-2-ОНА,
2,2,6,6-ТЕТРАМЕТИЛ-3-ГИДРОКСИ-ГЕПТ-3-ЕН-5-ОНА,
2,2,6,6-ТЕТРАМЕТИЛ-3-МЕТИЛАМИНО-ГЕПТ-3-ЕН-5-ОНА
И ИССЛЕДОВАНИЕ СПОСОБНОСТИ ЭТИХ ЛИГАНДОВ
К КОМПЛЕКСООБРАЗОВАНИЮ С МЕТАЛЛАМИ

П.А. Стабников, Л.Г. Булушева, Н.И. Алферова, А.И. Смоленцев, И.А. Корольков,
Н.В. Первухина, И.А. Байдина

Институт неорганической химии им. А.В. Николаева СО РАН, Новосибирск, e-mail: stabnik@niic.nsc.ru

Статья поступила 12 июля 2010 г.

С доработки — 30 ноября 2011 г.

Определены кристаллические структуры (дифрактометр Bruker Nonius X8 Apex с 4К CCD детектором, $\lambda\text{Mo}K_{\alpha}$, графитовый монохроматор, T 150 К и 293 К) двух β -дикетонов: $\text{F}_3\text{CC(O)CH}_2\text{C(O)Ph}$ (**1**) (пр. гр. $P2_1/c$, $a = 7,0713(3)$, $b = 11,5190(6)$, $c = 11,3602(6)$ Å, $\beta = 99,405(2)^\circ$, $V = 912,90(8)$ Å 3 , $Z = 4$), $(\text{CH}_3)_3\text{CC(O)CH}_2\text{C(O)C(CH}_3)_3$ (**2**) (пр. гр. $Pbca$, $a = 11,5536(8)$, $b = 11,5796(10)$, $c = 17,2523(13)$ Å, $V = 2308,1(3)$ Å 3 , $Z = 8$) и кетоимина $(\text{CH}_3)_3\text{CC(NCH}_3)\text{CH}_2\text{C(O)C(CH}_3)_3$ (**3**) (пр. гр. $I4_1/a$, $a = 18,7687(6)$, $b = 18,7687(6)$, $c = 14,5182(6)$ Å, $V = 5114,2(3)$ Å 3 , $Z = 16$). Все структуры молекулярного типа, построенные из изолированных молекул, объединенных ван-дер-ваальсовыми взаимодействиями. Проведены расчеты энергии замещения атома водорода в свободных лигандах на атом Na квантово-химическим гибридным методом B3LYP. Успешный синтез хелатов Na(I) с лигандами **1**, **2** и безрезультатные попытки синтеза комплекса с лигандом **3** согласуются с результатами расчетов. Геометрическим моделированием комплекса меди(II) с лигандом **3** установлено перекрывание CH₃-групп, затрудняющее хелатообразование.

Ключевые слова: β -дикетоны, кристаллическая структура, упаковка молекул, хелатообразование.

Комплексы металлов с β -дикетонами и их азотзамещенными аналогами обладают летучестью, т.е. способностью переходить в газовую фазу без разрушения молекул при небольшом нагревании. Благодаря этому свойству β -дикетонаты металлов широко используются для получения металлических и оксидных покрытий (метод МО CVD [1, 2]). Практическое применение способствовало всестороннему исследованию данных комплексов металлов, в том числе и строению их кристаллов, что отражено в КБСД (Cambridge Crystallographic Data Centre). Однако, если комплексы металлов в КБСД представлены широко, то строение исходных лигандов изучено в меньшей степени. Данные о строении лигандов необходимы как для понимания химических превращений, происходящих при комплексообразовании, так и процессов разрушения молекул при термической деструкции соединений. Структуры некоторых β -дикетонов, найденные в КБСД, приведены в табл. 1 [3—7]. Структурные исследования 1,1,1-трифтор-4-гидрокси-4-фенил-бут-3-ен-2-она (**Hbtf**, **1**), 2,2,6,6-тетраметил-3-гидрокси-гепт-3-ен-5-она (**Hdpm**, **2**) и 2,2,6,6-тетраметил-3-метиламино-гепт-3-ен-5-она (**Hmi-dpm**, **3**) отсутствуют. Настоящая ра-

Таблица 1

Структурные данные для исследованных β -дикетонов

Лиганд и ссылка	Код в КБСД	Год	Пр. гр., Z	a	b, β	c	R	T, K
Haa [3]	LIWPIQ	1998	<i>Pnma</i> , 4	8,396	15,984	4,066	4,81	110
	LOWPIQ01	1998	<i>Pnma</i> , 4	8,463	16,031	4,146	6,45	210
[Bi(dpm) ₃] ₂ ·Hdpm [4]	YIYEV	1993	<i>C2/c</i> , 8	43,396	20,455, 104,27	18,499	3,85	207
NC-dpm [5]	HAKTIX	2004	<i>P2₁/c</i> , 4	9,957	20,405, 91,30	5,980	5,3	100
I-dpm [6]	KUGPUX	1992	<i>P2₁/c</i> , 4	9,188	14,229, 104,74	10,628	3,9	250
Hdbm [7]	DBEZLM05	1997	<i>Pbca</i> , 8	8,749	10,840	24,427	6,49	283

бота посвящена исследованию строения кристаллов, квантово-химическим расчетам и моделированию хелатообразования этих лигандов.

ЭКСПЕРИМЕНТАЛЬНАЯ ЧАСТЬ

Лиганды Hbtf и Hdpm были приобретены в фирмах "Merck" и "Дальсиб". Синтез Hmi-dpm проводили аминированием Hdpm газообразным NH_2CH_3 в присутствии TiCl_4 , так же, как это описано для синтеза 2,2,6,6-тетраметил-3-амино-3-гептен-5-она (**Hi-dpm**, 4) в работе [8]. Hmi-dpm — белый порошок, не растворимый в воде и растворимый в органических растворителях. Температуры плавления лигандов ($^{\circ}\text{C}$), установленные на столике Боэтиуса: **1** — 148, **2** — 19, **3** — 40. Результаты элементного анализа на C, H, N, F получены на Carlo-Erba 1106 (Italy). Для **1** найдено, %: C 55,5, H 3,2, F 26,4. Для $\text{C}_7\text{H}_7\text{O}_2\text{F}_3$ рассчитано, %: C 55,6, H 3,3, F 26,4. Для **2** найдено, %: C 71,8, H 10,8. Для $\text{C}_{11}\text{H}_{20}\text{O}_2$ рассчитано, %: C 71,7, H 10,9. Для **3** найдено, %: C 73,2, H 11,6, N 7,2. Для $\text{C}_{12}\text{H}_{23}\text{ON}$ рассчитано, %: C 73,0, H 11,8, N 7,1.

ИК спектры образцов снимали на Фурье-спектрофотометре SCIMITAR FTS 2000 в области 375 — 4000 cm^{-1} . Образцы готовили в виде таблеток с KBr. Результаты приведены на рис. 1. Некоторые частоты колебаний для этих лигандов следующие:

1 (cm^{-1}) $\nu_{\text{O}-\text{H}}$ 3493, 3400; $\nu_{\text{C}-\text{H}}$ 3122, 3078; $\nu_{\text{C}=\text{O}}$ 1617, 1580; $\nu_{\text{C}-\text{F}}$ 1312, 1289, 1255; $\delta_{\text{C}-\text{F}}$ 773, 900.

2 (cm^{-1}) $\nu_{\text{O}-\text{H}}$ 3445; $\nu_{\text{C}-\text{H}}$ 2967, 2902, 2872; $\nu_{\text{C}=\text{O}}$ 1605.

3 (cm^{-1}) $\nu_{\text{O}-\text{H}}$ 3406; $\nu_{\text{N}-\text{H}}$ 3210; $\nu_{\text{C}-\text{H}}$ 2964, 2901, 2875; $\nu_{\text{C}=\text{O}}$ 1604, 1572; $\delta_{\text{N}-\text{H}}$ 1524; $\nu_{\text{C}-\text{N}}$ 1203.

4 (cm^{-1}) $\nu_{\text{N}-\text{H}}$ 3406, 3347, 3175; $\nu_{\text{C}-\text{H}}$ 2967, 2907, 2868; $\nu_{\text{C}=\text{O}}$ 1633, 1596; $\delta_{\text{N}-\text{H}}$ 1525; $\nu_{\text{C}-\text{N}}$ 1216.

Взаимодействие лигандов с металлическим натрием. Эксперименты проводили в сухом диоксане. В четыре пробирки поместили по 0,013 г Na, прилили по ~ 5 мл диоксана и добавили \sim по 0,2 г Hbtf, Hdpm, Hi-dpm и Hmi-dpm (лиганды взяты с двойным избытком). При комнатной температуре выделение водорода отмечено в пробирке с Hbtf. При нагревании пробирок до

40 $^{\circ}\text{C}$ выделение водорода стало заметно и в пробирке с Hdpm. При нагревании до 80 $^{\circ}\text{C}$ в этих пробирках реакция растворения Na усилилась, и стало заметно взаимодействие Na с Hi-dpm. При этой температуре Na с Hmi-dpm не реагировал. При нагревании последней пробирки до кипения диоксана (~ 101 $^{\circ}\text{C}$) выделения водорода не наблюдали. После нагревания пробирок при 80 $^{\circ}\text{C}$ в течение 1 ч их

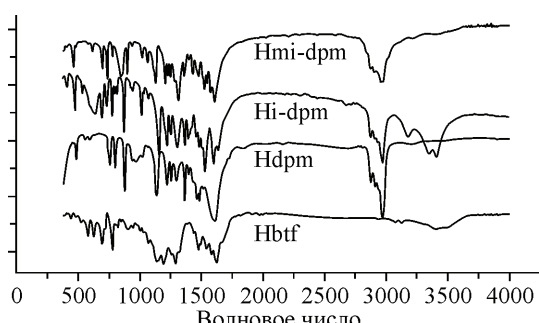


Рис. 1. ИК спектры исследуемых лигандов

Таблица 2

Кристаллографические данные и условия дифракционного эксперимента для соединений 1, 2 и 3

Соединение	1	2	3
Формула	$C_{10}H_7F_3O_2$	$C_{11}H_{20}O_2$	$C_{12}H_{23}ON$
Молекулярный вес	216,2	184,3	197,3
Температура, К	150(2)	150(2)	293(2)
Длина волны, Å	0,71073	0,71073	0,71073
Сингония	Моноклинная	Ромбическая	Тетрагональная
Простр. группа	$P2_1/c$	$Pbca$	$I4_1/a$
Параметры ячейки $a, b, c, \text{Å}$; β , град.	7,0713(3), 11,5190(6), 11,3602(6); 99,405(2)	11,5536(8), 11,5796(10), 17,2523(13)	18,7687(6), 18,7687(6), 14,5182(6)
$V, \text{Å}^3$	912,90(8)	2308,1(3)	5114,2(3)
Z	4	8	16
$d_{\text{выч}}, \text{г/см}^3$	1,573	1,061	1,025
$\mu, \text{мм}^{-1}$	0,148	0,071	0,064
Размер кристалла, мм	0,22×0,12×0,06	0,34×0,28×0,22	0,24×0,20×0,22
Область съемки θ , град.	2,54—27,57	2,36—26,40	3,07—27,11
I_{hkl} измеренных	6908	15358	18850
$I_{hkl} > 2\sigma_I$	2103 [$R_{\text{int}} = 0,0191$]	2362 [$R_{\text{int}} = 0,0257$]	2808 [$R_{\text{int}} = 0,0297$]
GOOF для F_{hkl}^2	1,054	1,068	1,061
$R (I > 2\sigma_I)$	$R_1 = 0,0344, wR_2 = 0,0936$	$R_1 = 0,0396, wR_2 = 0,1054$	$R_1 = 0,0566, wR_2 = 0,1508$
$R (I_{hkl} \text{ изм.})$	$R_1 = 0,0439, wR_2 = 0,0985$	$R_1 = 0,0514, wR_2 = 0,1100$	$R_1 = 0,0732, wR_2 = 0,1579$

охлаждали до комнатной температуры. В пробирках с Hbtf и Hdpm натрий полностью прореагировал. В пробирке с Hi-dpm натрий растворился наполовину, а в пробирке с Hmi-dpm вес натрия остался без изменения.

Взаимодействие лигандов с Cu(OH)_2 . Свежеприготовленный Cu(OH)_2 получали в смеси вода—ацетон (1:1) взаимодействием неорганической соли меди(II) и NaOH. Осадок Cu(OH)_2 отделяли на фильтре и промывали ацетоном. Осадок помещали в четыре выпарные чашки, в каждую из которых прибавляли по 0,2 г Hbtf, Hdpm, Hi-dpm и Hmi-dpm. (В каждой чашке был ~1,5-кратный избыток Cu(OH)_2 .) Взаимодействие должно было проходить по реакции:



По изменению цвета смеси было установлено образование Cu(btf)_2 и Cu(dpm)_2 . Взаимодействия лигандов Hi-dpm и Hmi-dpm с Cu(OH)_2 не наблюдали. Однако через сутки при образовании сухого остатка было установлено образование Cu(i-dpm)_2 , но Hmi-dpm с Cu(OH)_2 так и не прореагировал.

Рентгеноструктурный анализ. Параметры элементарных ячеек и массивы экспериментальных отражений при 150 К для $C_{10}H_7F_3O_2$ (1), $C_{11}H_{20}O_2$ (2) и при 293 К для $C_{12}H_{23}ON$ (3) получены на автоматическом дифрактометре Bruker Nonius X8 Apex с 4К CCD-детектором по стандартной методике (λMoK_α , графитовый монокроматор). Поглощение учтено полуэмпирически, опираясь на интенсивности эквивалентных рефлексов (SADABS) [9]. Структуры расшифрованы прямым методом и уточнены полиноматричным МНК по F^2 в анизотропном приближении для неводородных атомов с использованием комплекса программ SHELX97 [10]. Атомы водорода органических лигандов локализованы геометрически и уточнены в приближении жесткого тела. Кристаллографические данные и детали дифракционного эксперимента приведены в табл. 2. Структурные данные для $C_{10}H_7F_3O_2$ (1), $C_{11}H_{20}O_2$ (2) и $C_{12}H_{23}ON$ (3) депонированы в КБСД (CCDC 769663, CCDC 755632, CCDC 840627).

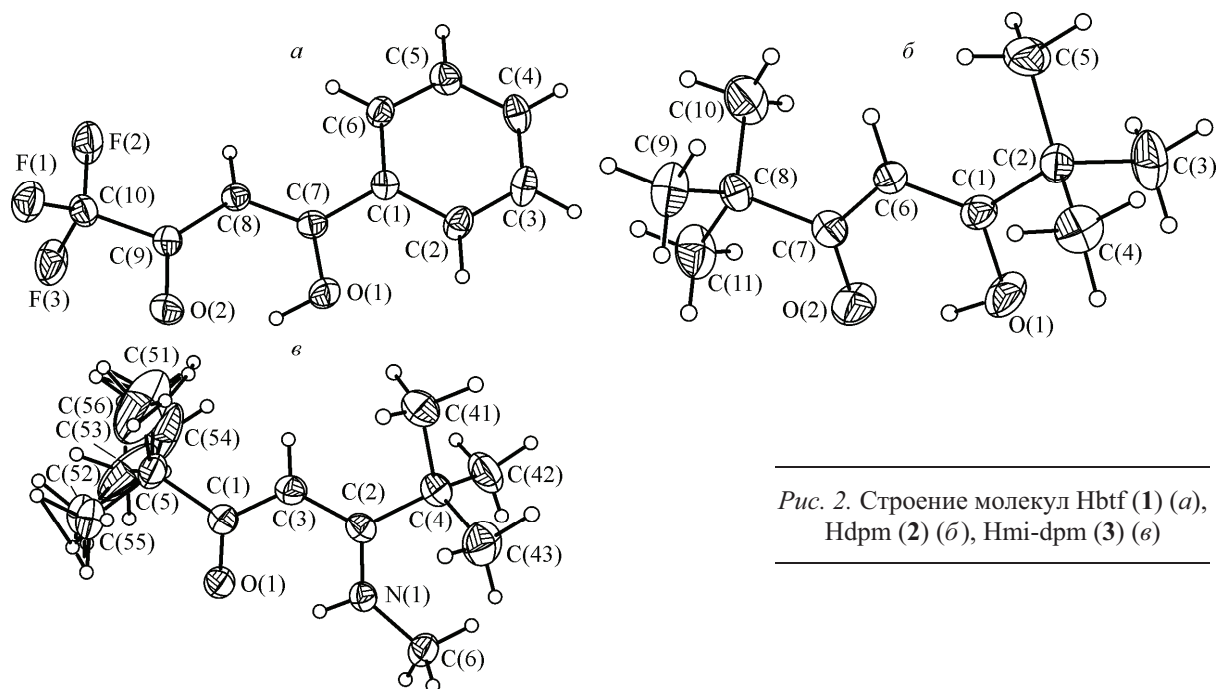


Рис. 2. Строение молекул Hbtf (1) (а), Hdpm (2) (б), Hmi-dpm (3) (в)

ОПИСАНИЕ КРИСТАЛЛИЧЕСКИХ СТРУКТУР

Структуры $C_{10}H_7F_3O_2$ (1), $C_{11}H_{20}O_2$ (2) и $C_{12}H_{23}ON$ (3) состоят из изолированных молекул, строение которых показано на рис. 2, а—в соответственно. Молекулы лигандов 1, 2 и 3, за исключением атомов CF_3 - и CH_3 -групп, практически плоские в пределах $0,06 \text{ \AA}$, отклонения атомов Ph-кольца в лиганде 1 от среднеквадратичной плоскости не превышают $0,01 \text{ \AA}$. В структуре 1 молекулы лиганда расположены слоями параллельно направлению [010] (рис. 3, а), а в структурах соединений 2 и 3 молекулы лигандов уложены вдоль оси a по паркетному мотиву (см. рис. 3, б и в). В молекуле лиганда 3 наблюдается разупорядочение одной из $C(CH_3)_3$ -групп.

Таблица 3

Межатомные расстояния $d (\text{\AA})$ для соединений 1, 2 и 3

Связь	d	Связь	d	Связь	d	Связь	d	
Соединение 1								
C(1)—C(2)	1,398(2)	C(8)—C(7)	1,385(2)	O(1)—C(1)	1,327(1)	C(7)—C(6)	1,434(2)	
C(1)—C(6)	1,398(2)	C(8)—C(9)	1,406(2)	O(2)—C(7)	1,256(2)	C(7)—C(8)	1,527(2)	
C(1)—C(7)	1,470(2)	O(2)—C(9)	1,255(2)	C(1)—C(2)	1,515(2)	C(8)—C(10)	1,526(2)	
C(2)—C(3)	1,385(2)	C(9)—C(10)	1,530(2)	C(1)—C(6)	1,365(2)	C(8)—C(11)	1,527(2)	
C(3)—C(4)	1,384(2)	F(1)—C(10)	1,331(2)	C(2)—C(3)	1,533(2)	C(8)—C(9)	1,528(2)	
C(5)—C(4)	1,390(2)	F(2)—C(10)	1,329(2)	C(2)—C(4)	1,535(2)	O(1)—H(1)	1,00	
C(6)—C(5)	1,388(2)	F(3)—C(10)	1,331(2)	C(2)—C(5)	1,521(2)			
O(1)—C(7)	1,315(1)	O(1)—H(1)	0,882	Соединение 2				
Соединение 3								
O(1)—C(1)	1,253(2)	C(1)—C(5)	1,540(2)	C(4)—C(41)	1,540(3)	C(5)—C(55)	1,475(5)	
N(1)—C(2)	1,339(2)	C(2)—C(3)	1,392(2)	C(4)—C(42)	1,543(3)	C(5)—C(51)	1,533(7)	
N(1)—C(6)	1,457(2)	C(2)—C(4)	1,538(2)	C(5)—C(53)	1,393(6)	C(5)—C(54)	1,668(6)	
N(1)—H(1)	0,84(2)	C(3)—H(3)	0,95(2)	C(5)—C(56)	1,431(13)	C(5)—C(52)	1,669(7)	
C(1)—C(3)	1,419(2)	C(4)—C(43)	1,529(3)					

Рис. 3. Укладка молекул в кристалле Hbtf (*a*), Hdpm (*b*), Hmi-dpm (*c*)

Длины связей в лигандах **1**, **2** и **3** (табл. 3) близки и хорошо согласуются с известными литературными данными [11]. Необходимо отметить, что расстояния O—C и N—C в лигандах **1**, **2** и **3** отличаются на 0,060, 0,071 и 0,086 Å соответственно. Кроме того, в молекулах лигандов реализуются внутримолекулярные водородные связи O—H...O (1,735 и 1,532 Å для **1** и **2** соответственно), N—H...O (1,904 Å для **3**), за счет которых образуется плоский шестичленный псевдогетероцикл (HO_2C_3) в **1** и **2** и (HNC_3O) в **3**. В структуре лиганда **3** можно также отметить межмолекулярные контакты C—H...O (H...O 2,44 Å) (см. рис. 3, *c*).

КВАНТОВО-ХИМИЧЕСКИЕ РАСЧЕТЫ

Квантово-химические расчеты Hbtf, Hdpm, Hi-dpm, Hmi-dpm и их комплексов с натрием проводились с целью объяснения различной реакционной способности лигандов при хелатообразовании. Исследованные соединения рассчитаны в приближении теории функционала плотности с использованием трехпараметрического гибридного функционала Беке [12] и корреляционного функционала Ли, Янга, Пара [13] (метод B3LYP) в рамках пакета квантово-химических программ Jaguar [14]. Атомные орбитали описывались базисным набором 6-31G**. Геометрию фрагментов оптимизировали аналитическим методом до величины градиента $5 \cdot 10^{-4}$ ат. ед. Некоторые длины связей, полученные по результатам оптимизации молекул Hbtf, Hdpm, Hi-dpm, Hmi-dpm, приведены в табл. 4. Использована нумерация атомов, предложенная при структурных расшифров-

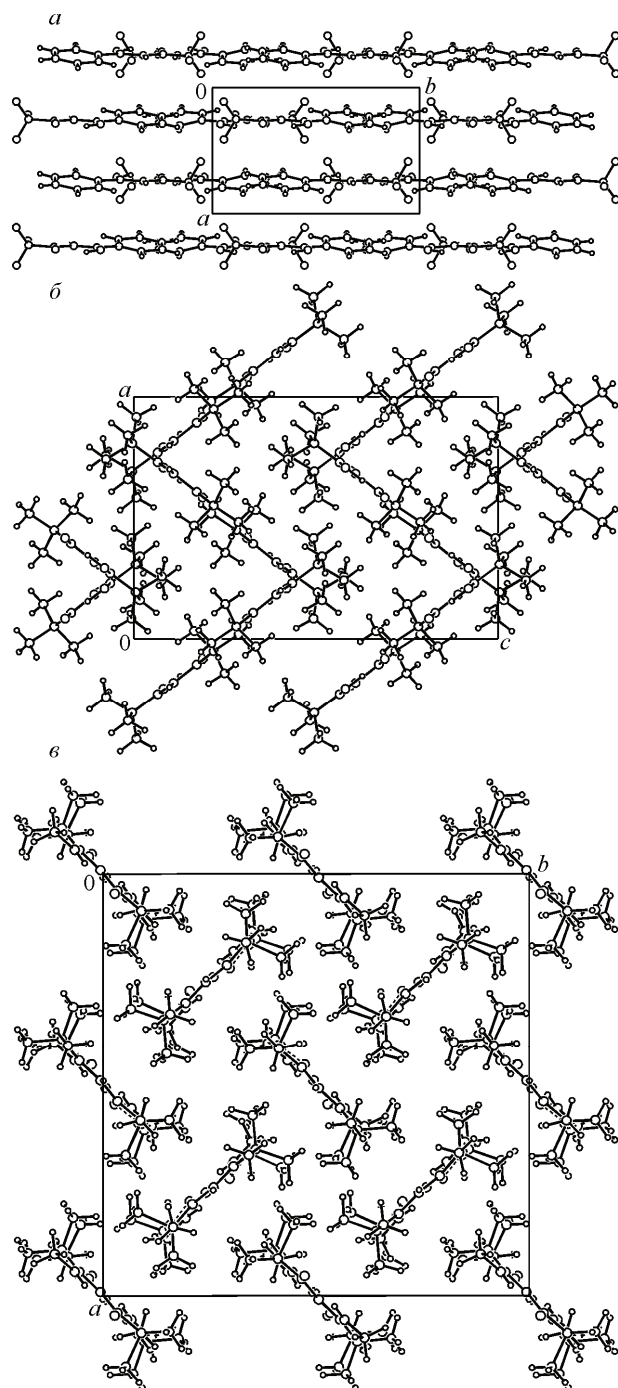


Таблица 4

Длины связей (Å), полученные по результатам B3LYP расчета молекул, и энергия (эВ) комплексообразования лигандов с натрием

Длина связи	Hbtf	Hdpm	Hi-dpm	Hmi-dpm	Длина связи	Hbtf	Hdpm	Hi-dpm	Hmi-dpm
O(1)—C(7)	1,318	1,323	—	—	C(7)—C(1)	1,450	1,524	1,539	1,545
O(2)—C(9)	1,256	1,259	1,252	1,256	C(9)—C(10)	1,519	1,542	1,553	1,553
C(7)—C(8)	1,363	1,380	1,385	1,395	N—C(7)	—	—	1,347	1,352
C(9)—C(8)	1,453	1,438	1,440	1,435	E^{form} комплекса	0,41	0,75	1,25	1,57

ках. Рассчитанные длины связей хорошо согласуются с экспериментальными значениями, что указывает на применимость используемого квантово-химического метода для исследования данного класса соединений. Из сопоставления данных, приведенных в табл. 4, видно, что длина связи O(2)—C(9) практически не зависит от типа заместителей в кольце и от противоположного хелатообразующего атома (кислород или азот). Длина связи C—N больше, чем длина связи C—O, и замещение атома водорода, связанного с азотом, на метильную группу приводит к ослаблению связи. Последовательное удлинение связи C(7)—C(8) в рассмотренном ряду молекул указывает на уменьшение π -электронного взаимодействия между этими атомами при замене фенильного фрагмента на *трет*-бутильную группу, атома кислорода на атом азота и водорода при атоме азота на метильную группу. Также в рассмотренном ряду молекул увеличивается расстояние между атомом углерода хелатного кольца и заместителем. При этом расстояние между атомами C(9)—C(8) практически не чувствительно к данным типам замены.

Энергию образования комплексов определяли следующим образом: $E^{\text{form}} = E^{\text{compl}} - E^{\text{lig}} - E^{\text{Na}} + E^{\text{H}}$, где E^{compl} и E^{lig} — полные энергии комплекса и лиганда; E^{Na} и E^{H} — энергии атома натрия и водорода, рассчитанные в том же базисе атомных орбиталей, что и энергии соединений. Полученные величины приведены в табл. 4. Энергия комплексообразования исследованных молекул с натрием имеет положительное значение, что указывает на эндотермичность процесса. То есть по результатам расчета для образования комплекса из лиганда и атома натрия в газовой фазе при температуре 0 К требуются затраты энергии. Эти затраты должны быть существенно меньше в условиях синтеза (температура — от комнатной до 101 °С). Увеличение энергии образования комплекса с натрием в ряду рассмотренных лигандов согласуется с экспериментально наблюдаемой тенденцией. Действительно, как нами было обнаружено, наиболее быстро протекает синтез натриевого комплекса с Hbtf, комплексообразование с Hdpm требует большей продолжительности, синтез с Hi-dpm происходит лишь при повышении температуры реакционной смеси до 80 °С, а комплекс с Hmi-dpm получить не удается даже при нагревании реакционной смеси до температуры кипения диоксана.

МОДЕЛИРОВАНИЕ МОЛЕКУЛЯРНОГО СТРОЕНИЯ Cu(mi-dpm)₂

Полученные экспериментальные и расчетные данные свидетельствуют о существенном отличии лиганда Hmi-dpm от трех других. В связи с этим возникла необходимость объяснения того, почему не удается получить хелаты Na(I) и Cu(II) с лигандром 3. Для этого мы решили в программе SHELXTL [9] провести моделирование гипотетического строения Cu(mi-dpm)₂, опирающееся на данные о строении молекул Cu(mi-aa)₂ [15] и Cu(i-dpm)₂ [8], показанные на рис. 4, *a* и *в* соответственно. Строение хелатных узлов в этих комплексах различно. Металло-

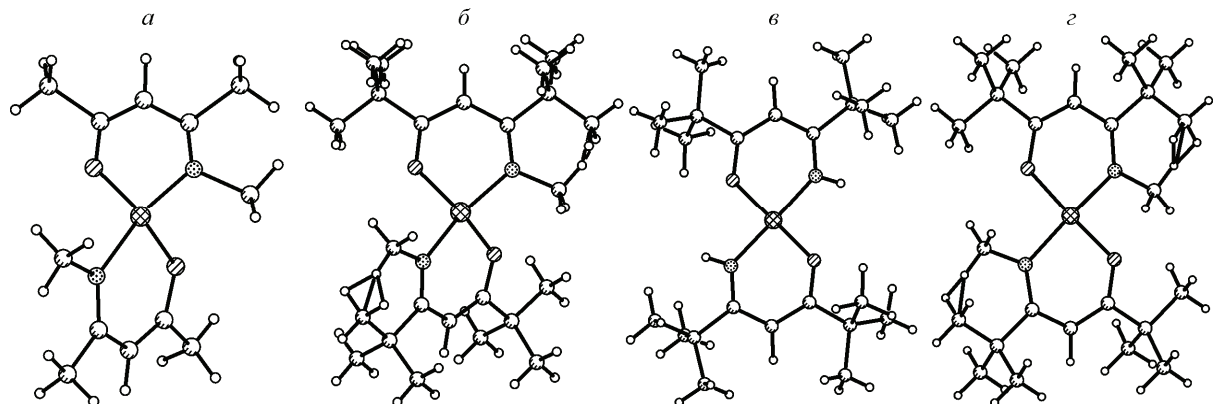


Рис. 4. Реальное строение молекулы Cu(mi-aa)₂ (*а*) и полученное геометрическим моделированием строение Cu(mi-dpm)₂ (*б*). Реальное строение молекулы Cu(i-dpm)₂ (*в*) и полученное геометрическим моделированием строение Cu(i-dpm)₂ (*г*)

циклы в $\text{Cu}(\text{mi-aa})_2$ развернуты относительно друг друга на $\sim 47^\circ$, поэтому ближайшее окружение атома меди из четырех атомов кислорода и азота является промежуточным между квадратом и тетраэдром (см. рис. 4, *a*). Металлоциклы в $\text{Cu}(\text{i-dpm})_2$ лежат в одной плоскости, и ближайшее окружение атома меди является квадратом (см. рис. 4, *b*). Задача моделирования заключалась в превращении концевых CH_3 -групп в $(\text{C}(\text{CH}_3)_3$ -группы в молекуле $\text{Cu}(\text{mi-aa})_2$ и NH -групп в NCH_3 -группы в молекуле $\text{Cu}(\text{i-dpm})_2$. В молекуле $\text{Cu}(\text{mi-aa})_2$ все атомы водорода метильных концевых групп были удалены, а вместо них вставлены геометрически 6 атомов С на расстоянии 1,54 Å. После этого к этим атомам углерода были добавлены атомы водорода на расстоянии 1,0 Å. В молекуле $\text{Cu}(\text{i-dpm})_2$ два атома водорода при атомах азота были удалены, а вместо них вставлены атомы С на расстоянии 1,45 Å. К этим атомам углеродам были добавлены атомы водорода на расстоянии 1,0 Å. Строение молекулы $\text{Cu}(\text{mi-dpm})_2$, полученное при превращении концевых CH_3 -групп в $(\text{C}(\text{CH}_3)_3$ -группы в молекуле $\text{Cu}(\text{mi-aa})_2$ и превращении NH -групп в NCH_3 -группы в молекуле $\text{Cu}(\text{i-dpm})_2$, показано на рис. 4, *б* и *г*. Из рис. 4 следует, что образование металлоциклов для Hmi-dpm должно осложняться внутрилигандным перекрыванием заместителей.

Моделирование показало, что при образовании металлоциклов Hmi-dpm с Cu(II) должно наблюдаться внутрилигандное перекрывание атомов метильной группы при азоте и атомов одной из метильных групп в заместителе независимо от разворота металлоциклов относительно друг друга. Другими словами, из-за стерических осложнений затруднено образование металлоцикла для лиганда Hmi-dpm, а следовательно, и комплекса $\text{Cu}(\text{mi-dpm})_2$. Вероятно, аналогичными стерическими осложнениями можно объяснить неудачи в попытке синтезировать Nami-dpm в отличие от получения Naptf, Nadpm и Nai-dpm при взаимодействии металлического натрия с этими лигандами.

Следует отметить, что к тому времени, когда были готовы гранки данной работы, нам удалось синтезировать $\text{Cu}(\text{mi-dpm})_2$ в кипящем толуоле при взаимодействии $\text{Cu}(\text{OCH}_3)_2$ с лигандом 3 в токе сухого азота. Комплекс очищен сублимацией. $\text{Cu}(\text{mi-dpm})_2$ — зеленого цвета, $T_{\text{пл}} = 152—153^\circ\text{C}$.

Работа выполнена при поддержке гранта Российского фонда фундаментальных исследований № 11-03-00197а.

СПИСОК ЛИТЕРАТУРЫ

- Грибов Б.Г., Домрачев Г.А., Жук Б.В. и др. Осаждение пленок и покрытий разложением металлографических соединений. — М.: Наука, 1981.
- The chemistry of metal CVD / Eds. T. Kodas, M. Hampden-Smith. — Weinheim. — New York—Basel—Cambridge—Tokyo: VCH, 1994.
- Boese R., Antipin M.Yu., Blaser D., Lyssenko K.A. // J. Phys. Chem. B. — 1998. — **102**. — P. 8654 – 8660.
- Фукин Г.К., Писаревский А.П., Яновский А.И., Стручков Ю.Т. // Журн. неорган. химии. — 1993. — **38**. — С. 1205 – 1211.
- Belot J.A., Clark J., Cowan J.A. et al. // J. Phys. Chem. B. — 2004. — **108**. — P. 6922 – 6926.
- Sans-Lenain S., Reynes A., Gleizes A. // Acta Crystallogr., Cryst. Struct. Commun. — 1992. — **48**. — P. 1788.
- Ozturk S., Akkurt M., Ide S. // Z. Kristallogr. — 1997. — **212**. — S. 808.
- Stabnikov P.A., Zharkova G.I., Baidina I.A. et al. // Polyhedron. — 2007. — **26**. — P. 4445 – 4450.
- Bruker AXS Inc. (2004). APEX2 (Version 1.08), SAINT (Version 7.03), SADABS (Version 2.11) and SHELXTL (Version 2008/1). Bruker Advanced X-ray Solutions. — Madison, Wisconsin, USA.
- Sheldrick G.M. SHELX97 Release 97-2. — University of Göttingen, Germany, 1998.
- Allen F.H., Kennard O., Watson D.G. // J. Chem. Soc., Perkin Trans. — 1987. — P. S1 – S19.
- Becke A.D. // J. Chem. Phys. — 1993. — **98**, N 7. — P. 5648 – 5652.
- Lee C., Yang W., Parr R.G. // Phys. Rev. B. — 1988. — **37**, N 2. — P. 785 – 789.
- Jaguar, version 7.8. Schrödinger, LLC, New York, 2011.
- Байдина И.А., Стабников П.А., Васильев А.Д. и др. // Журн. структур. химии. — 2004. — **45**, № 4. — С. 706 – 712.